

討22

669.12: 620.192.43: 669.775: 669.787: 669.788
純鉄(100)面上への S, O, P の偏析挙動

金属材料技術研究所の吉原一弘 倉橋正保 新居和義

I 緒言

固体を加熱すると固体内部に含まれている微量元素の不純物が表面や粒界などの界面に偏析し、界面に沿って内部と著しく組成の異った相が存在する。このようすは内部と著しく異った組成を持つ界面は材料の性質に大きな影響を与えると考えられる。たとえばフェライト系の鋼を400~600°Cに加熱すると粒界上にSが偏析し、それが脆化の原因であるといわれている⁽¹⁾。一方表面の偏析層は溶炭、塗化、焼結、熱処理などの操作に影響を与える。冷延鋼板の“paintability”にもこのような偏析層が関与すると予想される。

このようすがいかに材料の性質に影響を与えるかを理解するためには、まず界面に囲まれる熱力学的解釈を確立しなければならない。そこで本研究ではbulkのイオウ量を調節したd-Feの单結晶(100)面へ不純物が偏析する様子をLEED-AESを用いて観察し、偏析現象を速度論的に取扱うと同時に、表面偏析層の熱力学的解釈を確立し表面の相平衡図を作成することを目的とする。

II 実験方法

1. 試料

試料は歪撓鍛法により作成した鉄の单結晶(100)面を10×10×1 mmの大きさに切り出したものを使用した。試料の純度は次のようである。C:20, Si:10, Mn:10, P:20, S:45, Cu:10, Al:10, O:70, N:30, (単位P.P.M.)⁽³⁾。試料を水素気流中890°Cで焼純し、その焼純時間を変えることによりS量を17ppm, 23ppm, 36ppmとすることができた。また試料を石英アンプル内でイオウ端末とともに890°Cで焼純し、その焼純時間を変えることにより試料のS量を66ppm, 80ppm, 100ppmとすることができる。試料をエメリー紙、ダイヤモンドペーストで研磨し、洗浄、乾燥後試料ホールダに取り付ける。装置および試料ホールダの図をFig.1に示す。試料は裏からエレクトロンボンバードにより加熱することができる。温度の測定は試料表面にスポット着陸した熱電対により約1100Kまで±3K以内で測定した。

2. 偏析挙動の測定

所定の温度に達した後、その温度に約15時間保持する。しかし複数試料表面をアルゴンイオンビームによって表面に存在している不純物を除去し、AESで表面が清潔であることを確認した後スパッタリングを中止する。このときを測定開始時とし以後AESで表面にS,O,Pが偏析していく様子を連続的に観察しLEEDにより表面構造の変化を調べた。

3. 偏析量の定量化

従来AESでは結果をdN/dE曲線のピーク高さの相対比で表示することは多かったが、この表示法では偏析の半定量的な考察には不向きである。ここでは最も簡便な定量法として既に発表されている純元素に対する相対感度⁽⁴⁾を用い、かつ偏析元素だけではなく表面近傍に存在しているとして表面量 C_S^X を(1)式により求めた。

$$C_S^X = (d_x I_x / S_x) / \sum_i (I_i / S_i) \quad \dots (1)$$

ここで I_x はdN/dE曲線上の元素Xのオージェピーク高さ、 S_x は元素Xの相対感度、 d_x は偏析元素の内部方向への分布が指数関数的に減少していると仮定したときの補正項である⁽⁵⁾。

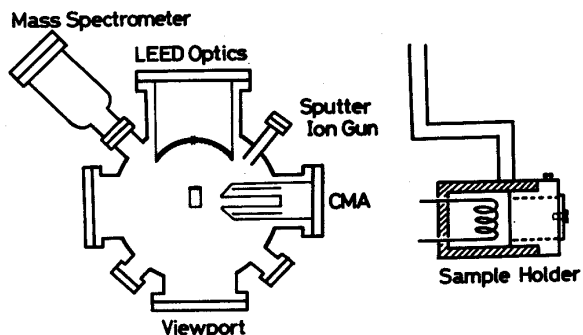


Fig. 1. LEED-AES System

本研究では偏析量の表示は全て(1)式に基づいて行うが、このようにして求めた定量値には $\pm 20\%$ 程度の誤差があることに注意しなくてはならない。⁽⁶⁾

III 結果

1. 偏析挙動

$S = 45\text{ ppm}$ 合成試料を 1023 K で焼鈍した際の S, O, P の時間とともに表面に偏析していく様子を Fig. 2 に示す。初期には O が最も速く表面に偏析し約 40 分後には 12 at\% と最大となり、以後次第に減少し 4 時間後にはほとんど表面に存在しなくなる。 S は初期に時間に比例して増大するが、以後一定値に近づき、4 時間後には 28 at\% とほぼ一定となる。上は初期には S と同様の速さで表面に偏析していくが 15 分で最大となり、40 分後には表面には存在しなくなる。Fig. 3 は同じ試料を 1073 K で焼鈍したものである。 S, O, P の偏析の様子は 1023 K の場合と同様の傾向を示すが、その偏析速度は大きくなる。 S の平衡偏析量は 1023 K の場合と同様約 28 at\% である。下は $S = 36\text{ ppm}$ 合成試料を 1023 K で焼鈍した際の偏析挙動を Fig. 4 に示す。 S の偏析速度は 45 ppm の場合に比べて小さくなるが 24 時間後では 32 at\% で一定となる。 P の偏析量は $S = 45\text{ ppm}$ の試料に比べて大きい。 O の偏析量は 45 ppm の試料の場合に比べて減少した。この試料の bulk の O 量は 56 ppm である。 $S = 45\text{ ppm}$ の試料は O を 70 ppm 含む。したがって水蒸気流中の焼鈍により固溶酸素の量、すなわち運動する O の量が減少したため、 O の偏析量が少なくなったと考えられる。Fig. 5 は $S = 80\text{ ppm}$ 合成試料を 1023 K で焼鈍した際の偏析挙動を示す。 S の偏析速度は著しく大きくなり、平衡値は Fig. 2, Fig. 3, Fig. 4 の場合と異り約 38 at\% となった。また O はごく短時間でピーグを呈し、以後は急速に減少する。上は偏析が観測され方が、下。

各試料の各温度における S の偏析量の平衡値を温度に対してプロットしたのが Fig. 6 である。 S 合成量が 66 ppm 以下の試料では温度にかかわらず平衡値は約 30 at\% であるが 80 ppm 以上の試料では約 40 at\% である。

2. LEED による表面構造の観察

$S = 45\text{ ppm}$ 合成試料を約 900 K まで昇温しアルゴンイオンでスパッタリングし、AES で表面が清浄であることを確認して後、直ちに室温まで急速に冷却した表面の LEED 画像を Photo. 1 (a) に示す。Photo. 1 (a) よりかかる extra spots を見られず $p(1 \times 1)$ 構造を示す。

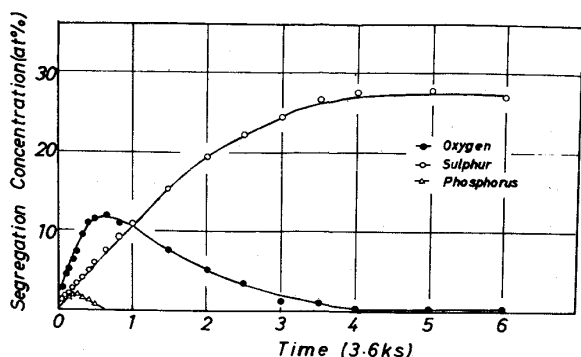


Fig. 2 Segregation Behaviour on Iron ($S: 45\text{ ppm}$, at 1023 K)

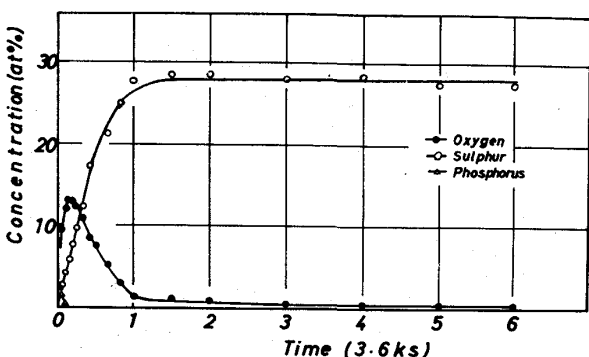


Fig. 3 Segregation Behaviour on Iron ($S: 45\text{ ppm}$, at 1073 K)

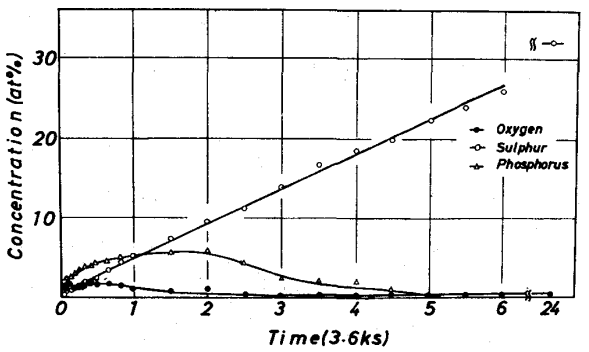


Fig. 4 Segregation Behaviour on Iron ($S: 36\text{ ppm}$, at 1023 K)

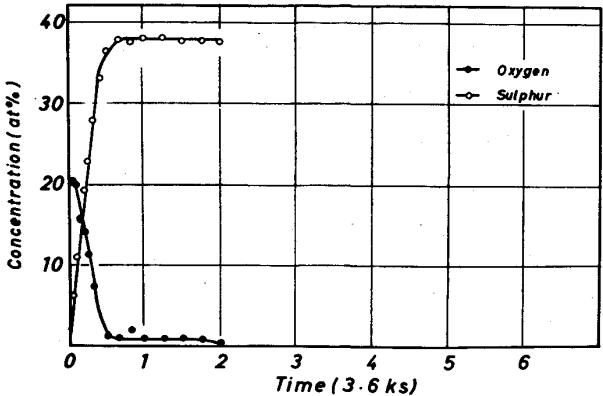


Fig. 5 Segregation Behaviour on Iron ($S: 80\text{ ppm}$, at 1023 K)

これは Fe(100) の清浄面を表わしている。同じ試料を 1023 K で焼純し、S の偏析量が平衡値 (28 at%) に達した試料を室温まで急冷したときの LEED 写真を Photo. 1 (b) に示す。Clean の場合と異り extra spots が $(\frac{1}{2}, \frac{1}{2})$ 等の位置に見られ C(2x2) 構造に Fe_2S である。Leggi S によれば⁽⁷⁾ Fe(100) 面では吸着した S は C(2x2) 構造であり、それは Fe 原子 2 個に対し、S 原子が 1 個結合するよう構造であるとしている。これはまたかも表面に Fe_2S というべき組成の化合物が存在していることを示している。これによれば S の表面濃度は 33 at% となり本実験の結果と比較的良く一致している。S が 80 ppm 含んで試料を 1023 K で焼純し、S の偏析量が平衡値 (38 at%) に達した後、室温まで急冷した表面の LEED 写真が Photo. 1 (c) である。この写真も C(2x2) 構造を示していながら extra spots が Photo. 1 (b) の場合に比べてやや不明である。

IV 考察

1 偏析挙動

以下の試料における S の表面濃度は初期に時間に比例して増大し一定値に達する。O, P は初期に水と水 bulk 濃度に対応した速度で表面に偏析するが表面活性性、すなわち表面自由エネルギーをさげる結果の大きさの順序が S, O, P の順であるため S の偏析量が大きくなるとまず P が次に O が置換され、それらの表面濃度は次第に減少していく。

2 偏析速度

S の偏析速度は O や P の存在により影響されることが考えられるので S の偏析速度を求めることができる。偏析速度は表面の Vacant Site と表面直下の bulk 濃度に比例すると考へ、次式が表面に関して成立すると言える。

$$dC_S/dt = k(C_{S0} - C_S)C_{S0} \quad \dots (2)$$

C_S : S の表面濃度、 C_{S0} : S の飽和表面濃度、 C_{S0} : 表面直下の S の bulk 濃度、 k : 反応速度定数 (2) 式の境界条件のもとに Fick の法則を解くと偏析の初期には次式のようになる。

$$C_S/C_{S0} = k C_0 t = Kt \quad \dots (3)$$

C_0 : S の bulk 濃度

(3) 式の結果は初期には表面濃度は時間に比例して増加し、その速度は bulk 濃度が大きいほど大きいといふ実験結果と良く一致している。種々の bulk 濃度における偏析速度 K をアレニウスプロットすると Fig. 7 のようになる。S が 66 ppm の試料では偏析の活性化工エネルギーは 192 kJ/mol であるが S 量が減ると大きくなり 23 ppm の試料では 377 kJ/mol となる。これは試料中に S と affinity の大きい Mn や Mg が微量含まれているのでこれら不純物による S のトラップが考えられる。S がこれら不純物にトラップされたと、それから解離

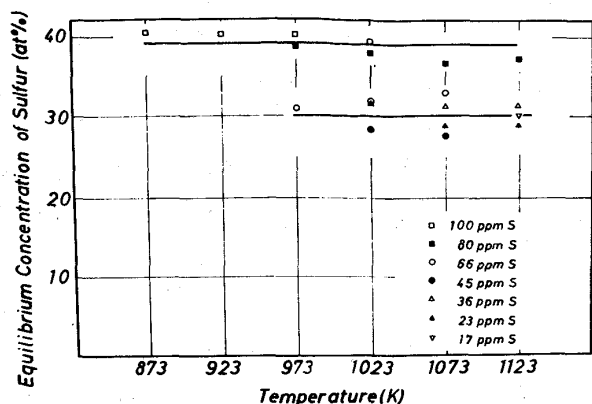


Fig. 6 Equilibrium Segregation Concentration of Sulfur

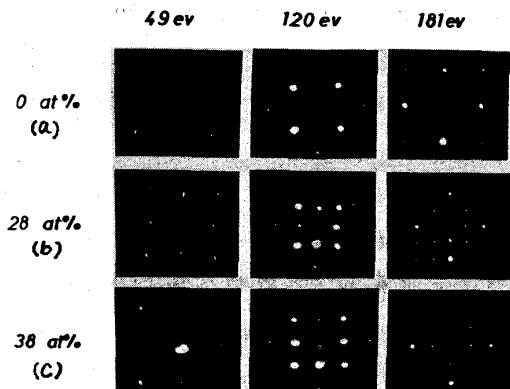


Photo. 1. LEED Patterns at Various Surface Concentrations of S

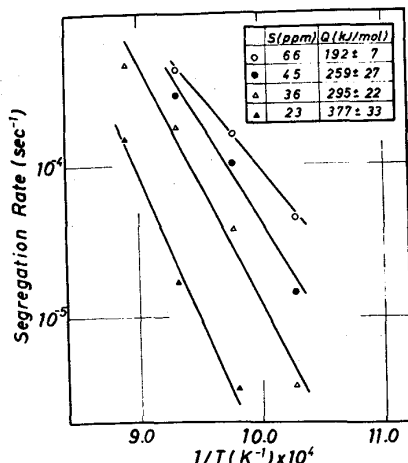


Fig. 7 Log K vs 1/T

するための余分のエネルギーが必要になり、この結果は S のバルク濃度が小さくなるほど大きく表われとの結果活性化エネルギーが大きくなる。

3. 平衡偏析量

Fig. 6 に各 bulk 濃度における平衡値が示してある。二の平衡濃度は(1)測定時にあり 3 表面からの S の蒸発 = 3 ロス、(2) AES の定量方法などによる誤差を考慮すれば 17 ppm が第一次近似としている。ほぞ二の程度の値であると考える。bulk 濃度が 17 ppm より 66 ppm では濃度、bulk 濃度によらず平衡濃度は約 30 at% であり LEED による結果によれば新たに Fe_2S と呼ばべき組成の 2 次元化合物が生成している。bulk 濃度が 80 ppm 以上では平衡濃度は 40% 以上となるが Fig. 6 に示す結果では extra spots が 30 at% の場合よりもやや不明瞭であるといふ点を除けば同様の C(2×2) 構造である。二の構造を決定するには回折強度の詳細な測定が必要で現在検討中であるが、ここで 80 ppm 以上の試料では bulk Fe_2S の析出が生じるのにに対応し、表面上は Fe_2S_{1+x} のような形をもつ化合物が生成する、またかち運動の S は Fe_2S の間隙に吸着し、一部結晶構造が不完全となることである。Fig. 8 は Seybolt による bulk Fe-S system の状態図である⁽⁹⁾。Fig. 8 によれば、たゞ 2 の 80 ppm の試料では 1050 K で固溶限を切る。したがってこの状態図が正しければ、ここで表面に相変態が観測されたはずであるが、本実験で観測されなかつた。また Grabke らによれば、地中の S の bulk 濃度が数 ppm で表面には C(2×2) 構造が形成されるとして報告している⁽⁸⁾。

これらの結果から表面に関する次のような相が存在すると思われる。(1) bulk 濃度が数 ppm 以下では表面では disorder が S の吸着である。(2) 数 ppm より 66 ppm までは表面には Fe_2S といふ組成の 2 次元化合物である。(3) 80 ppm 以上では Fe_2S_{1+x} といふ組成の化合物が生成する。したがって Fig. 9 のように表面に関する相図を推定することができた。

このようなく bulk とは全く組成の異なる表面層の存在がスラグや歯根等の表面反応のプロセスに大きな影響を与えると考える。今後、実際に冷延鋼板の表面が焼銹時に、どのような組成になるかについて調べる予定である。

(参考文献) (1) M.P. Seah, Acta Met. 25 (1977) 345

(2) H.J. Grabke, E.M. Petersen and S.R. Srinivasan, Surface Sci. 67 (1977) 501

(3) K. Takeuchi, Trans. Japan Inst. Metals 20 (1966) 1

(4) P.W. Palmberg, G.D. Riach, R.E. Weber and N.E. MacDonald : Handbook of AES, PHI, Edina, Minn (1972)

(5) 鈴木洋夫, 日本国際学会誌 14 (1975) 173

(6) C.C. Chang, Surface Sci. 48 (1975) 9

(7) K.O. Legg, F. Jona, D.W. Jepsen and P.M. Marcus, Surface Sci. 66 (1977) 25

(8) H.J. Grabke, W. Paulitschke, G. Tauber and H. Viefhaus, Surface Sci. 63 (1977) 377

(9) N.G. Ainslie and A.U. Seybolt, J. Iron and Steel Inst. (1960) 341

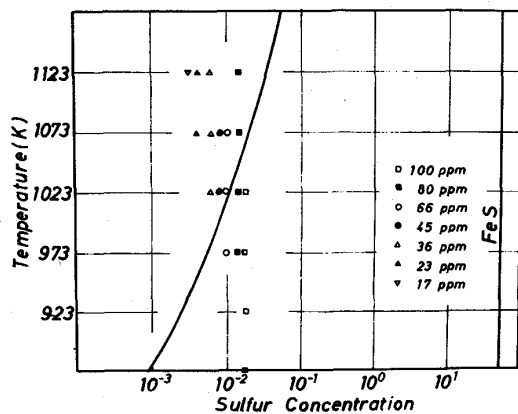


Fig. 8 Bulk Phase Diagram of Fe-S system

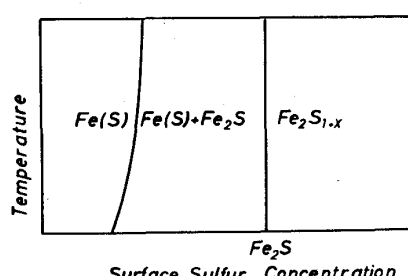


Fig. 9 Surface Phase Diagram of Fe-S System